

VENZI S., RE G., MONTI E. - SNAM S.p.A.

SINIGAGLIA D. - Politecnico di Milano

CTOA COME PARAMETRO DI MECCANICA DELLA FRATTURA ELASTO
PLASTICA: MISURA E APPLICAZIONI.

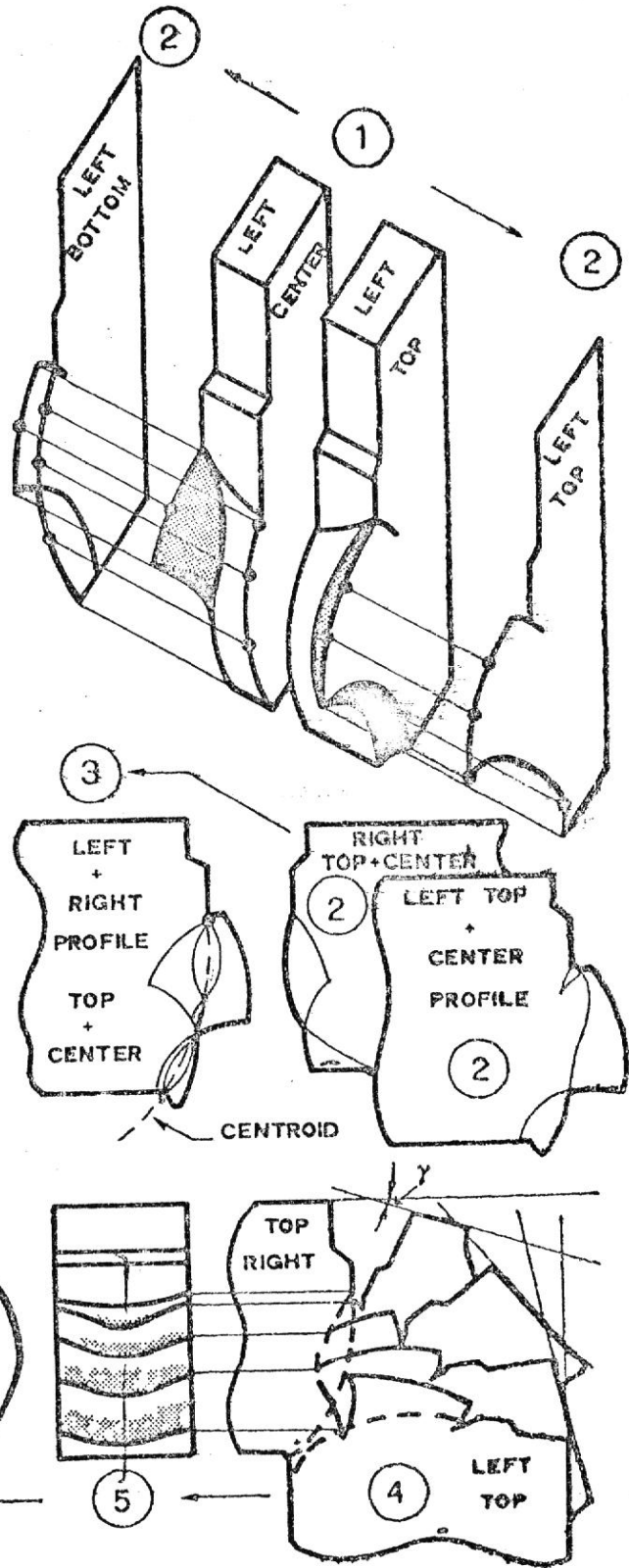
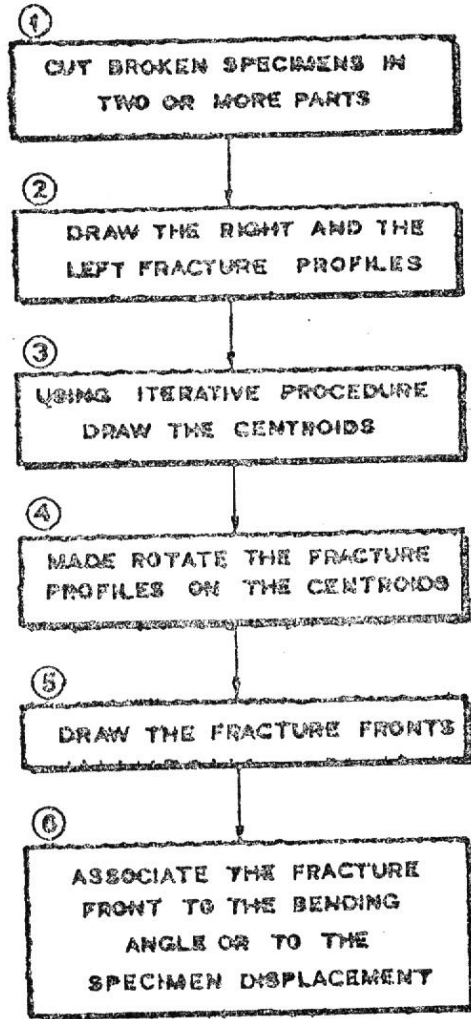
La cinematica della frattura fornisce semplici relazioni geometriche che correlano i parametri di deformazione macroscopica di una provetta al CTOA (Crack Tip Opening Angle).

In questa trattazione il CTOA viene pertanto assunto come parametro metallurgico caratterizzante la propagazione della frattura in campo elasto-plastico.

Per la pratica applicazione di questo concetto si procede in due direzioni. Da una parte, attraverso prove di laboratorio, si sta verificando la variazione del CTOA durante il procedere della frattura in diversi tipi di provette sia lungo il legamento che lungo lo spessore. Inoltre si valuta l'influenza dello spessore e della velocità di applicazione del carico sulla misura.

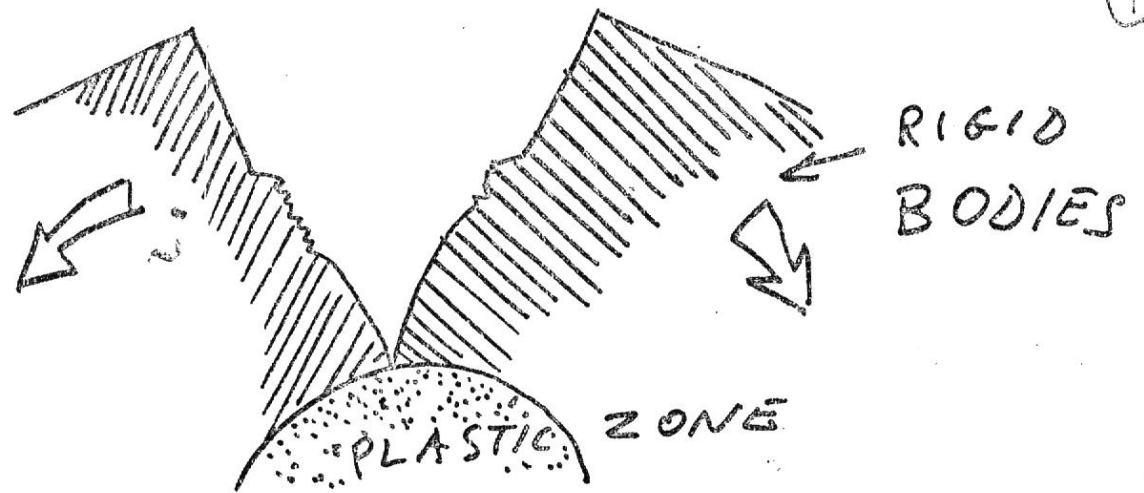
Dall'altra parte si stanno studiando le possibili applicazioni ingegneristiche in particolare nel campo della propagazione della frattura duttile nei gasdotti ed in quello dell'instabilità di difetti circolari nelle tubazioni.

SENB 3 SPECIMEN



TOUGHNESS

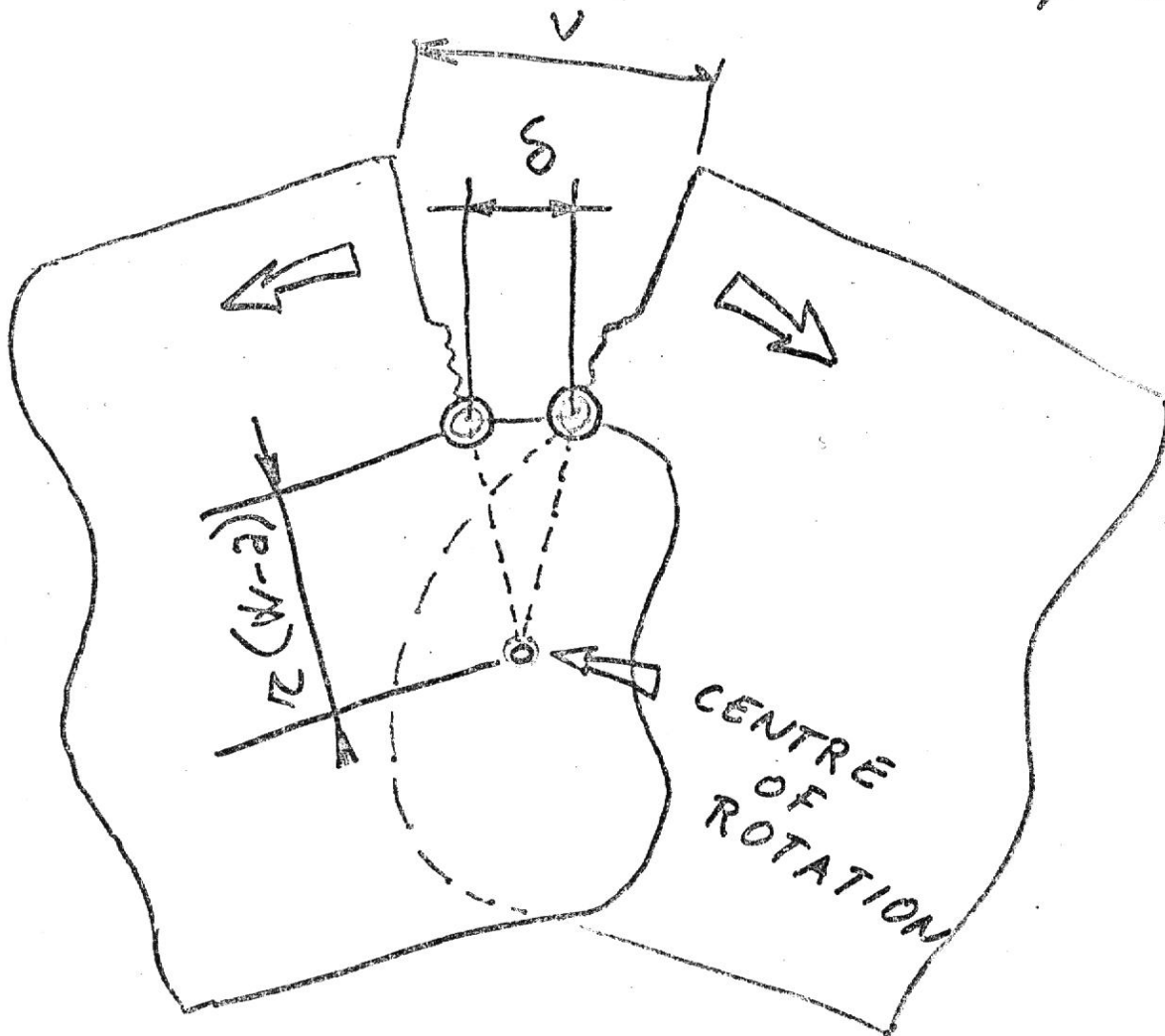
$$\frac{d\delta}{dd} \text{ or } \frac{d\gamma}{d\alpha}$$



THE MOTION OF TWO RIGID BODIES IS KNOWN WHEN THE RELATIVE DISPLACEMENT OF TWO POINTS AND THE CENTRE OF ROTATION ARE KNOWN AT EACH INSTANT

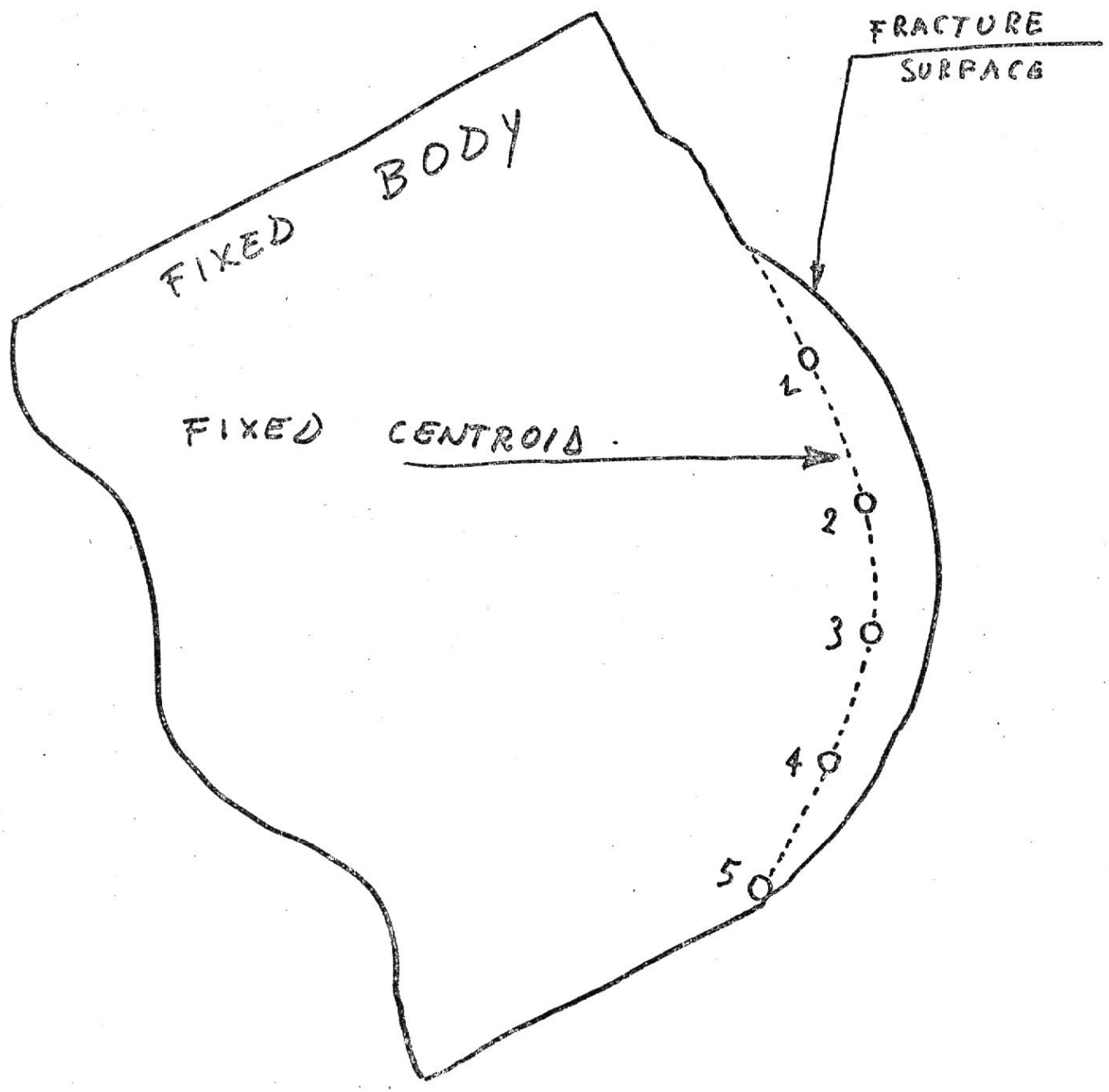
FOR A SPECIMEN WHEN :

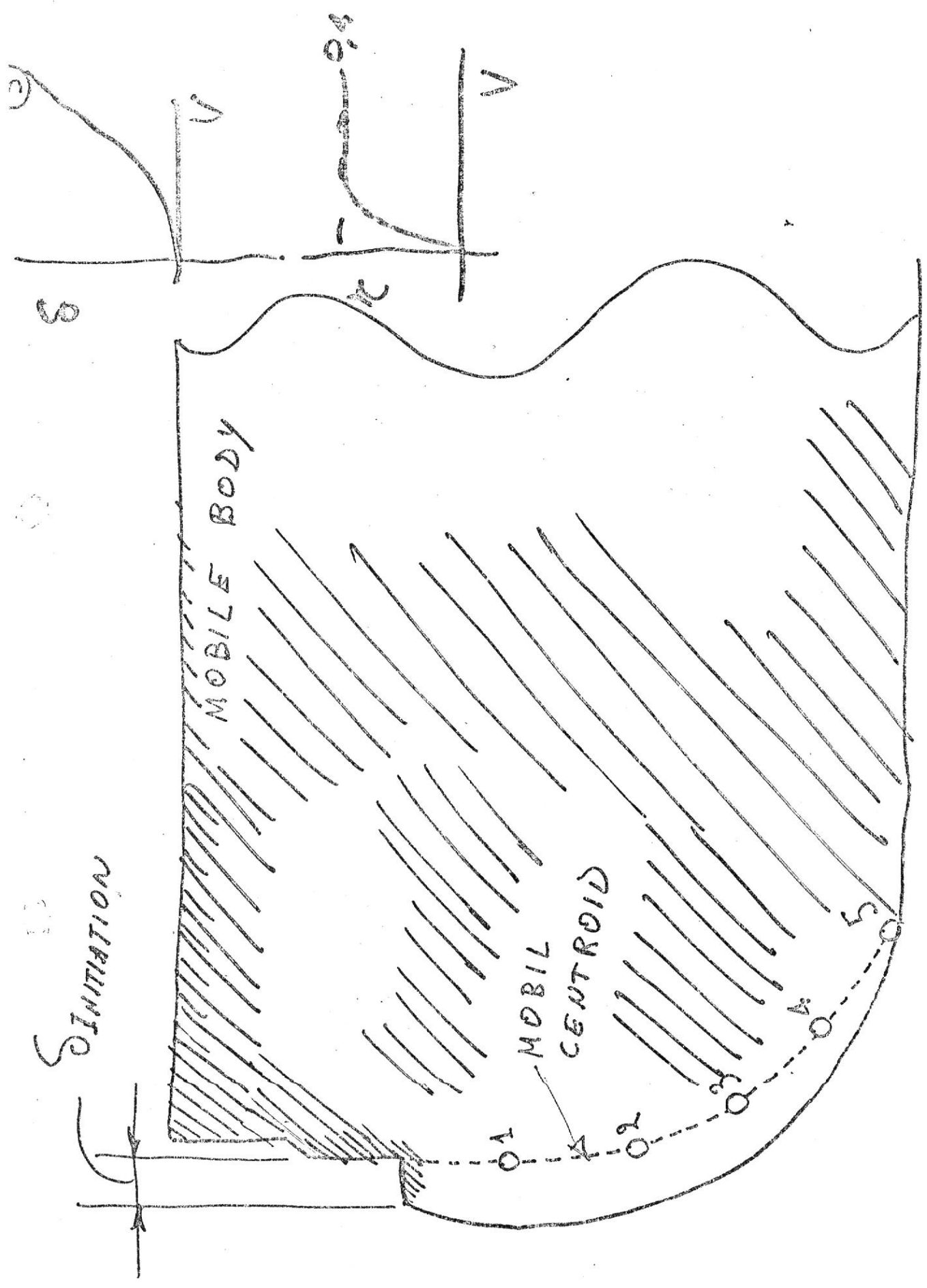
δ AND $z(W-d)$ ARE KNOWN FROM A COD CALIBRATION : or v, δ .



THE MOTION OF TWO RIGID BODIES IS DEFINED BY PURE ROTATION OF THE MOBILE CENTROID ON THE FIXED ONE

THE CENTROIDS ARE THE ~~LOCUS~~ LOCI OF THE CENTRES OF ROTATION.

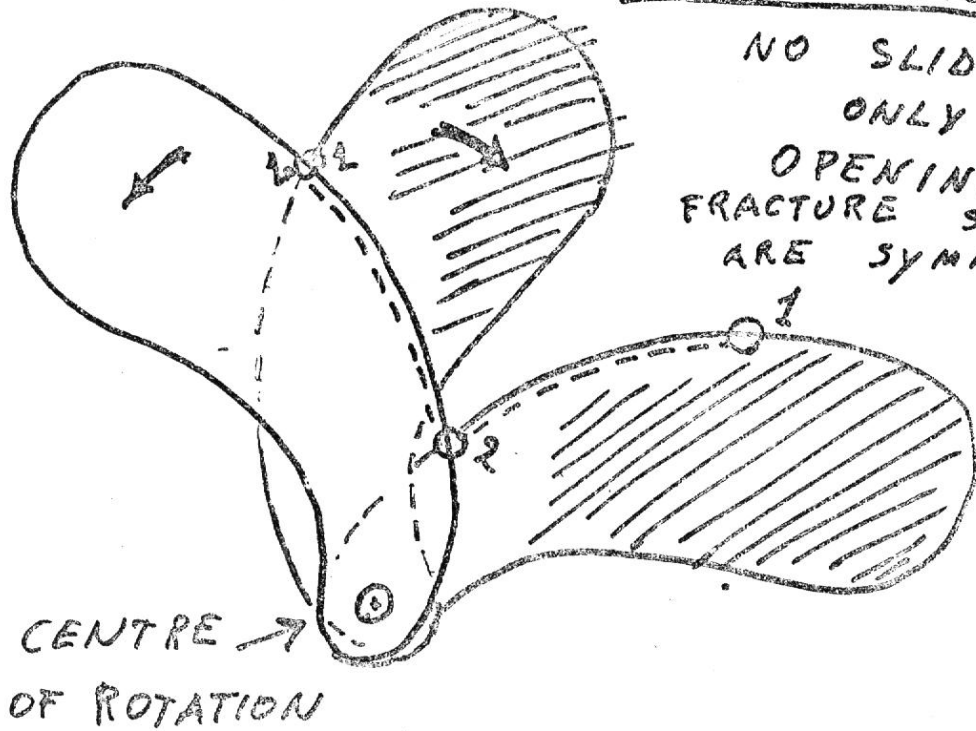




MODE I OPENING

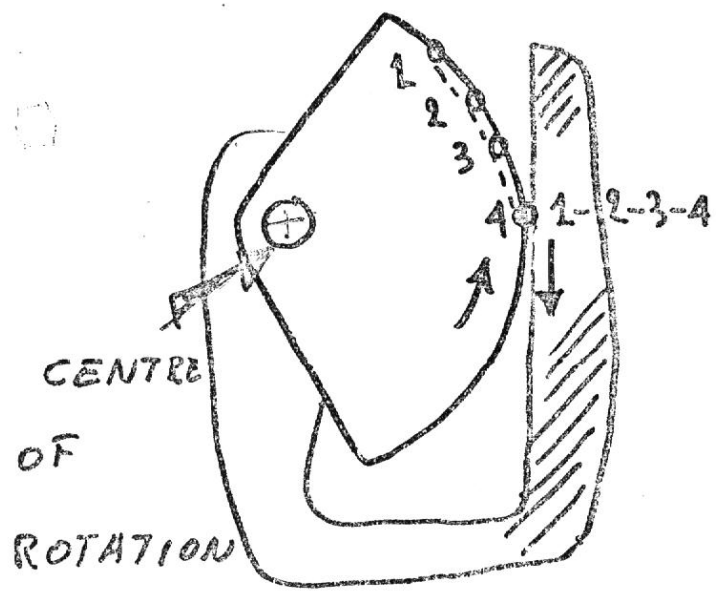
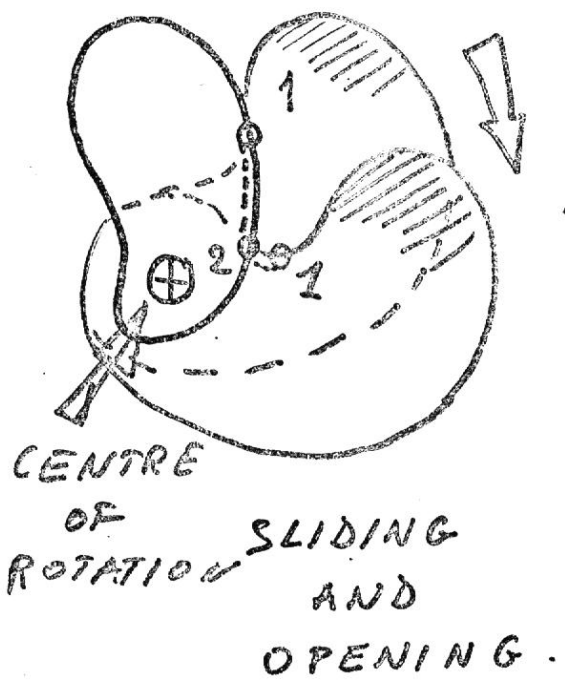
NO SLIDING
ONLY

OPENING
FRACTURE SURFACES
ARE SYMMETRIC

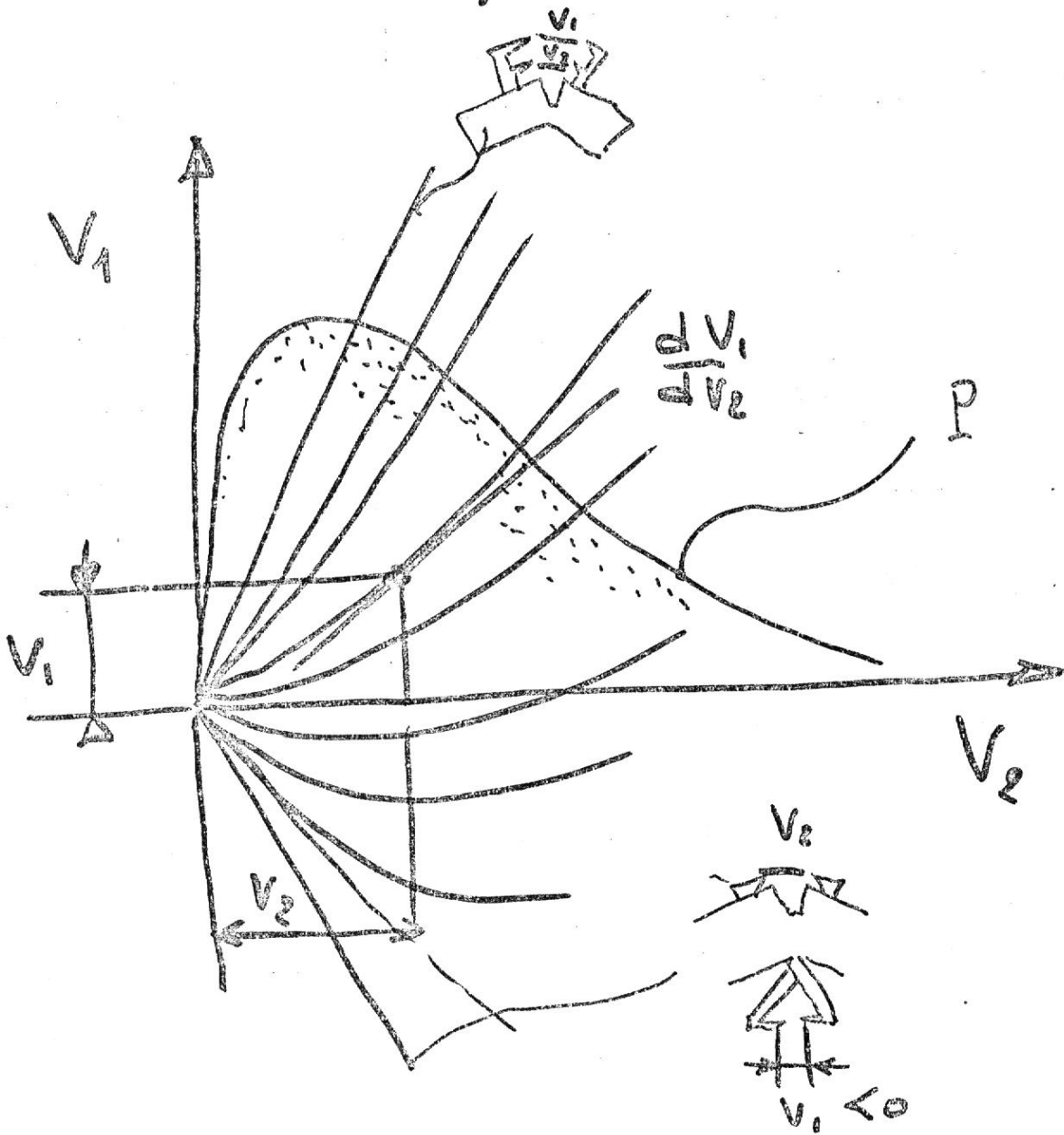
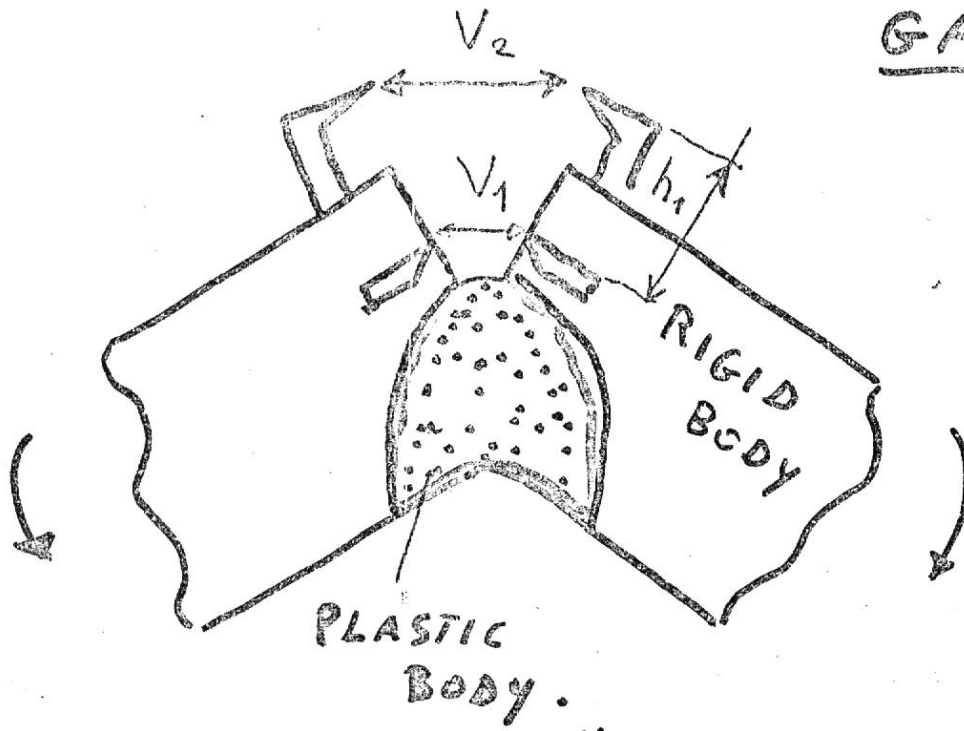


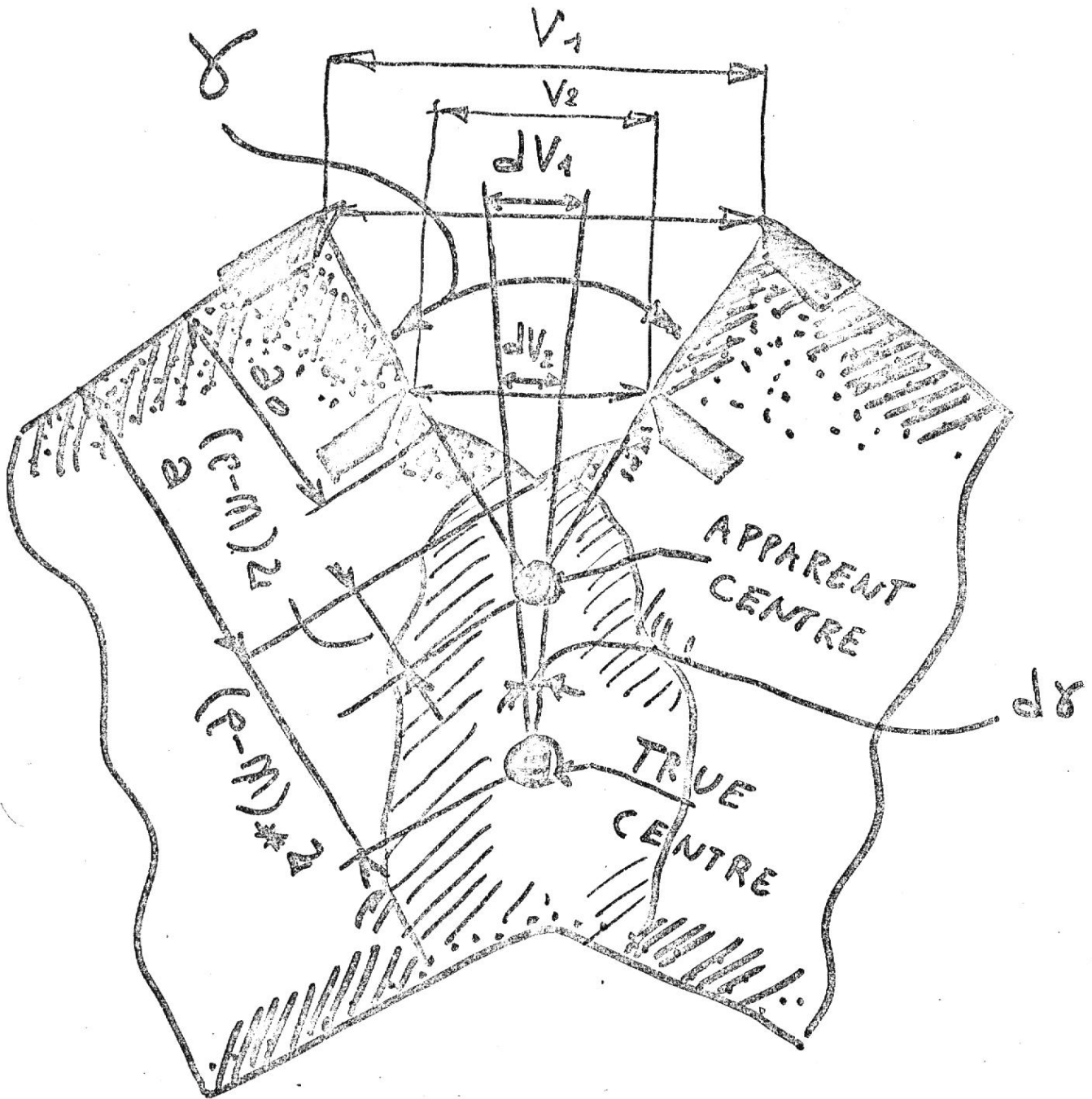
MODE I + II

MODE II OPENING
PURE SLIDING



TWO CLIP
GAUGES.





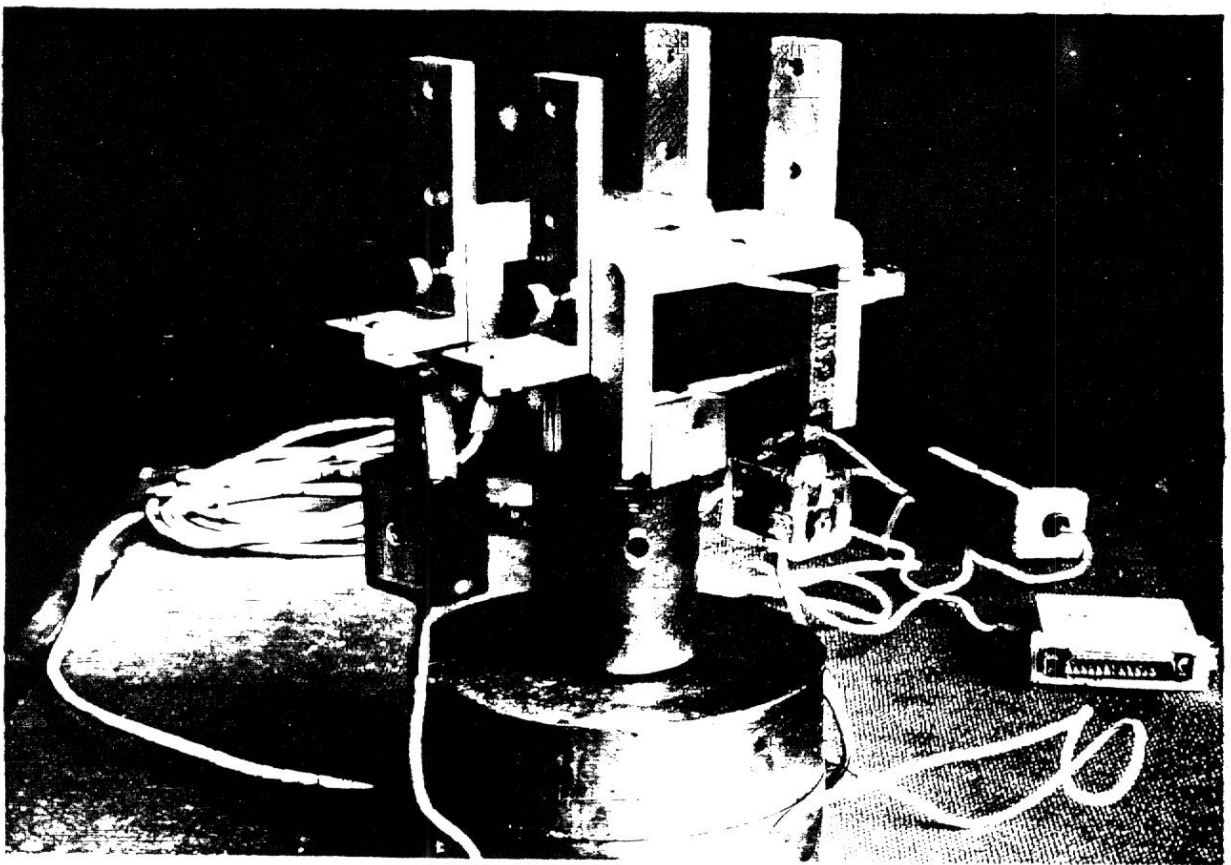


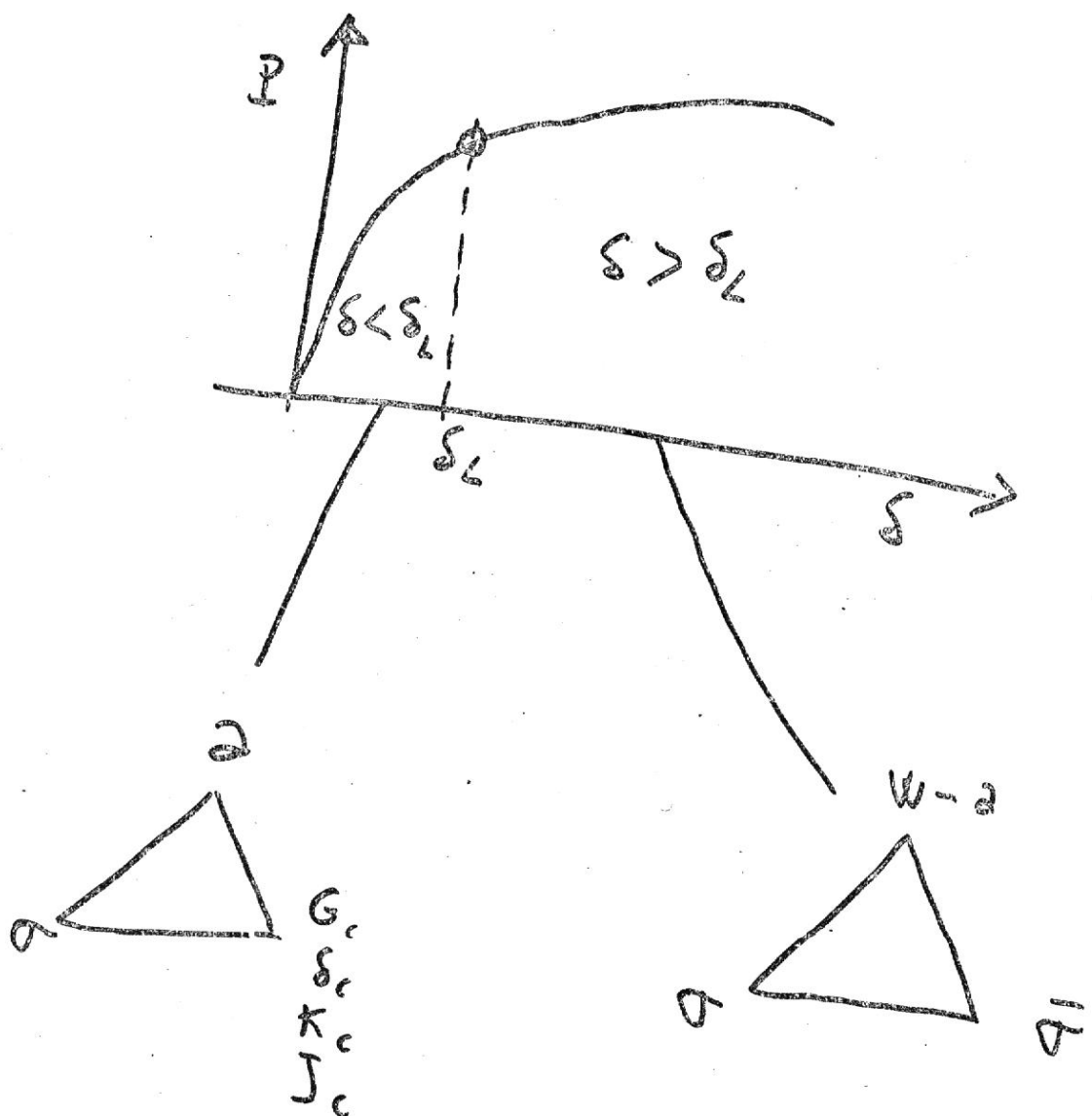
Photo 1 - Experimental assembling.

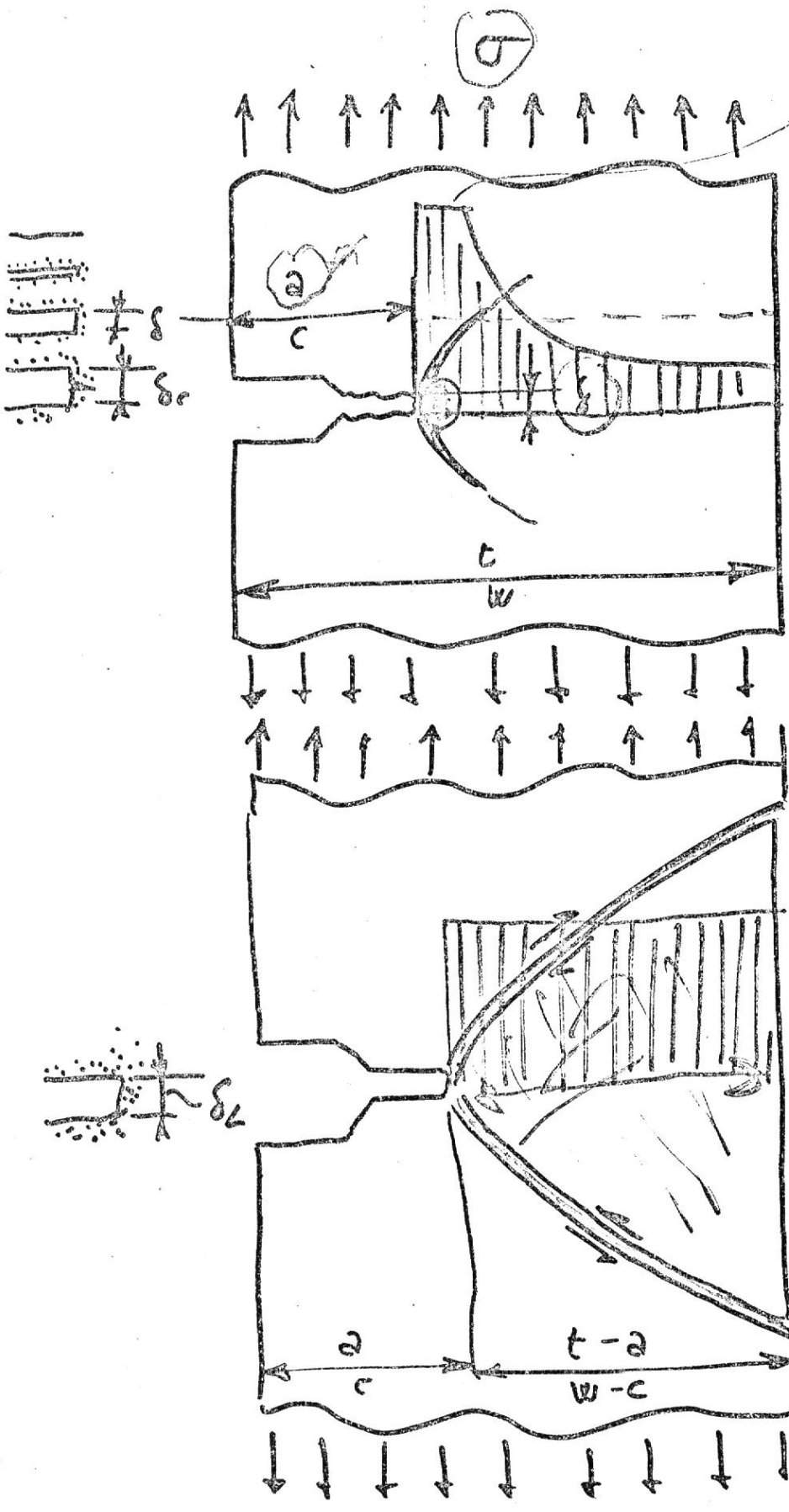
AT CUSP

$$\delta \approx -\pi \epsilon_y a \left(1 - \frac{a}{W}\right)^2$$

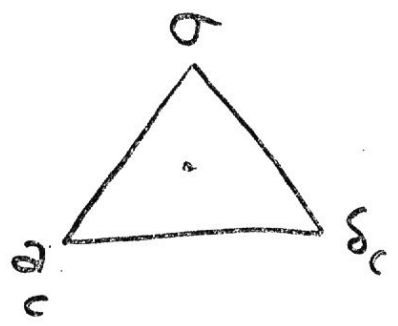
We DEFINE δ at cusp

as δ_L (COD LIMIT)



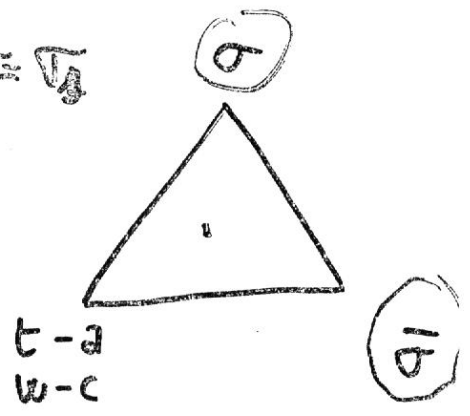


$\sigma = \sigma_B$



$\delta \Rightarrow \delta_c$

$\sigma = \sigma_B$

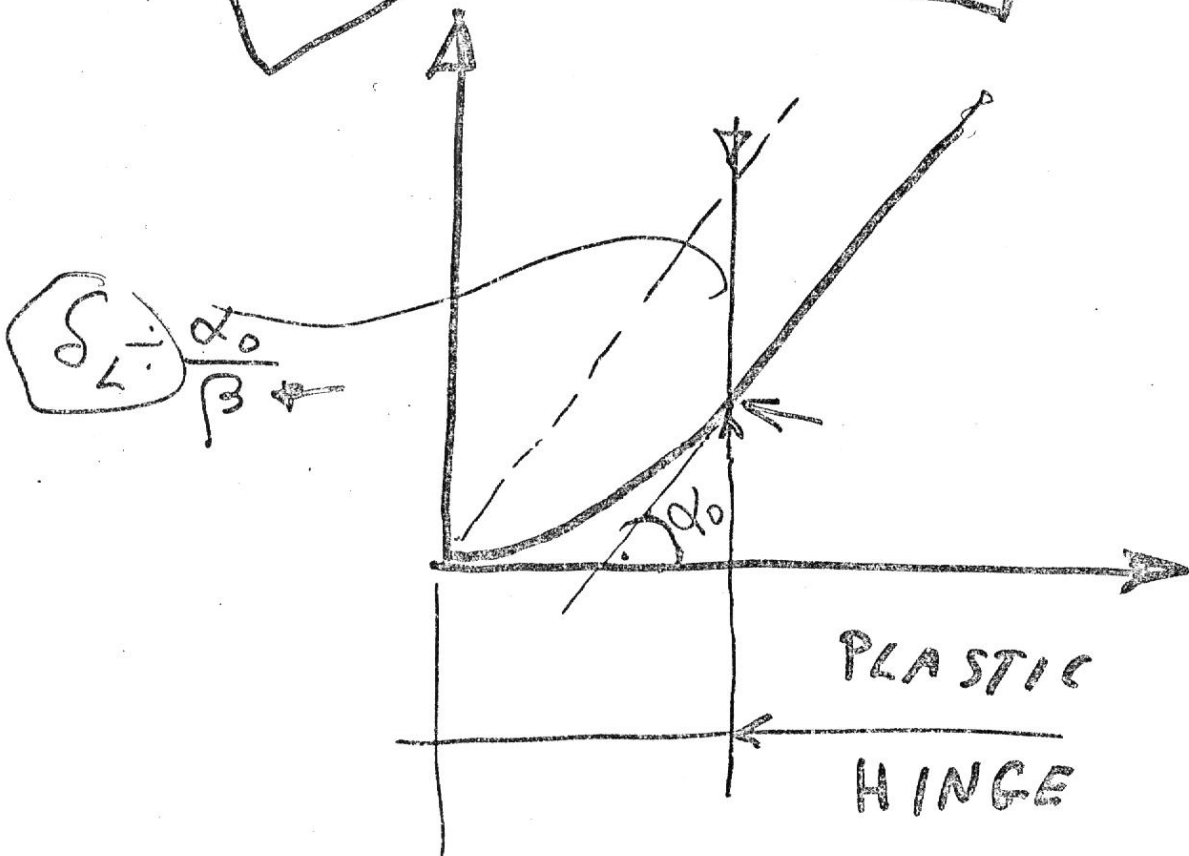
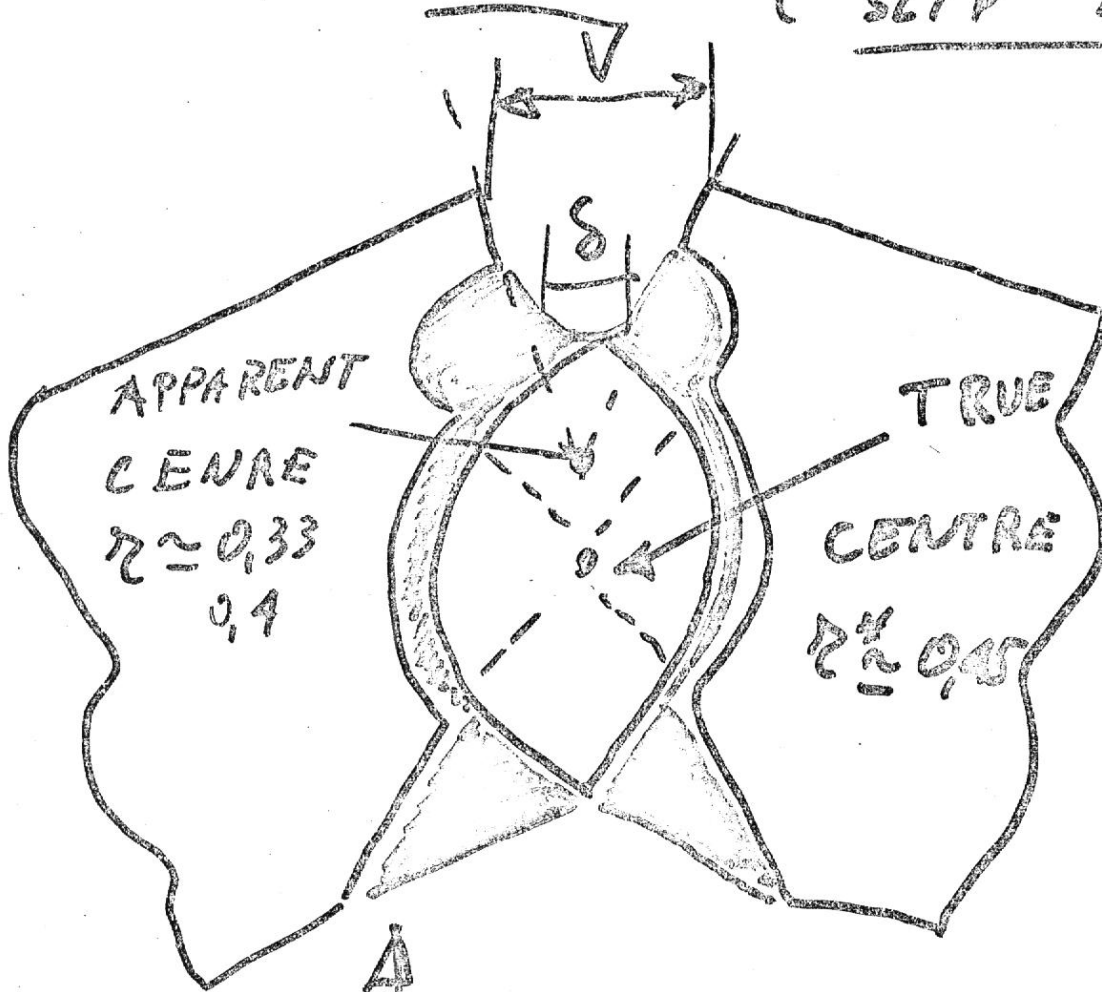


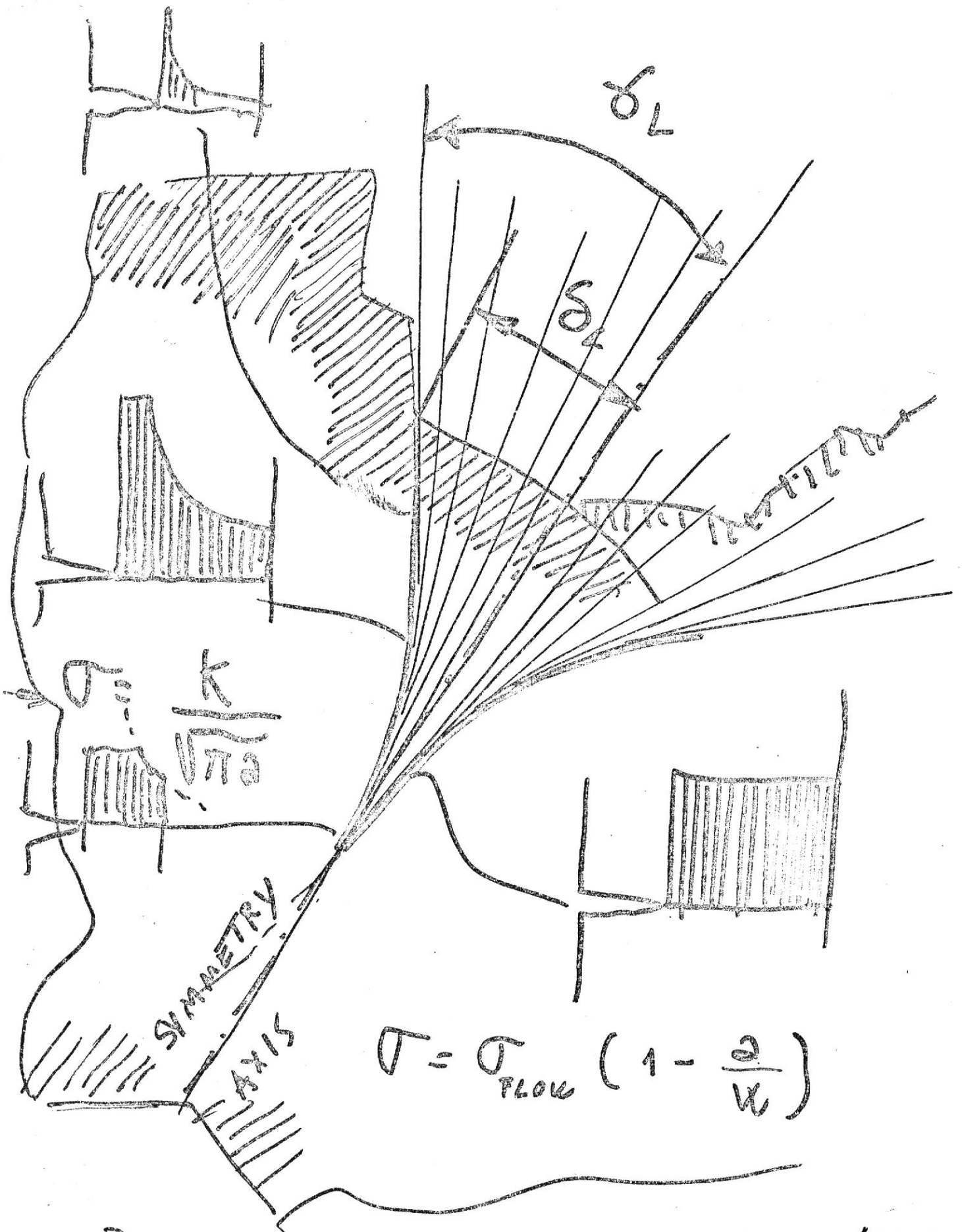
$\sigma_{eff} \Rightarrow \sigma$

$\sigma_{eff} = \frac{\sigma}{\frac{t-a}{t}}$

$\sigma_{eff} = \frac{\sigma}{\frac{w-c}{w}}$

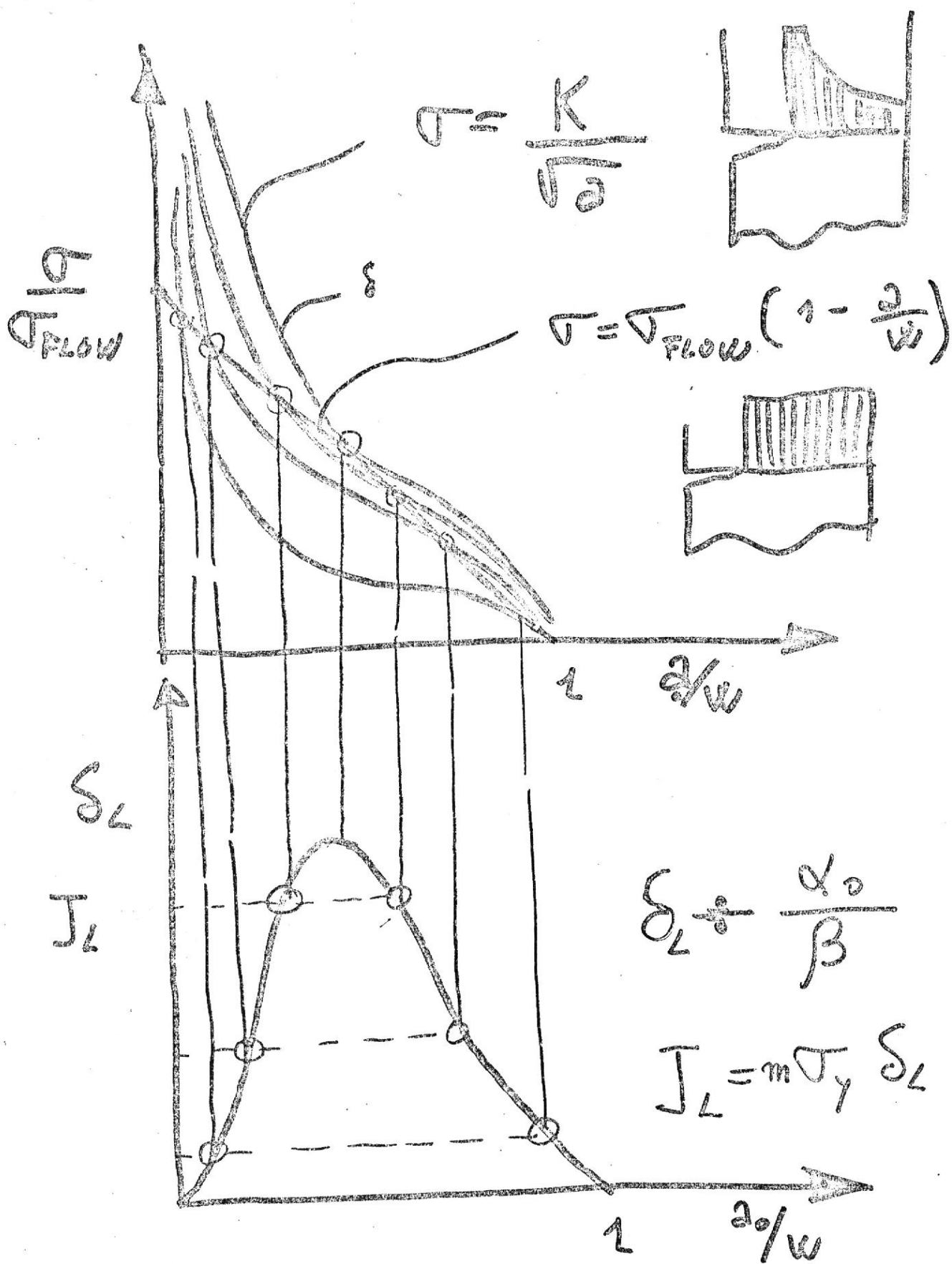
τ^* { EXPERIMENTAL } KINEMATICS
 { THEORETIC } CUSP
SLIP LINES





PROPAGATION IS SEEN HAS
A CONTINUOUS REINITIATION

- 1) σ^* 2) LIMIT LOAD (C)



$$\sigma_L = \pi \epsilon_y a \left(1 - \frac{a}{w}\right)^2$$

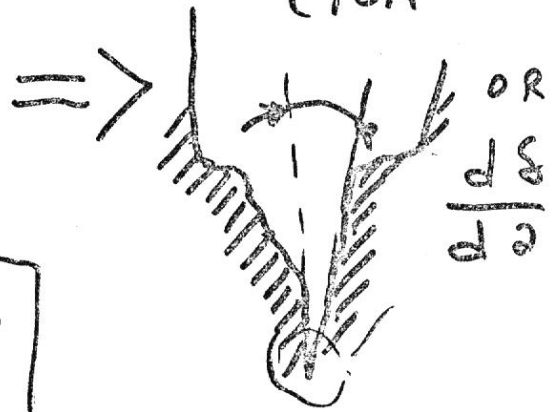
$$J_L = \pi \underline{\sigma_y}^2 a \left(1 - \frac{a}{w}\right)^2$$

Before initiation

After initiation
(steady state)



$$\sigma_L + \Delta \sigma \frac{dS}{da}$$

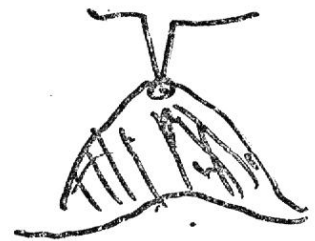


$$G = R = \int_0^a \sigma_y \delta \Rightarrow m \sigma_y (w-a) \frac{dS}{da}$$

$$\frac{\partial G}{\partial a} = \frac{\partial R}{\partial a} = \frac{\partial I}{\partial a} = \sigma_y \frac{dS}{da} \Rightarrow - \sigma_y \frac{dS}{da}$$

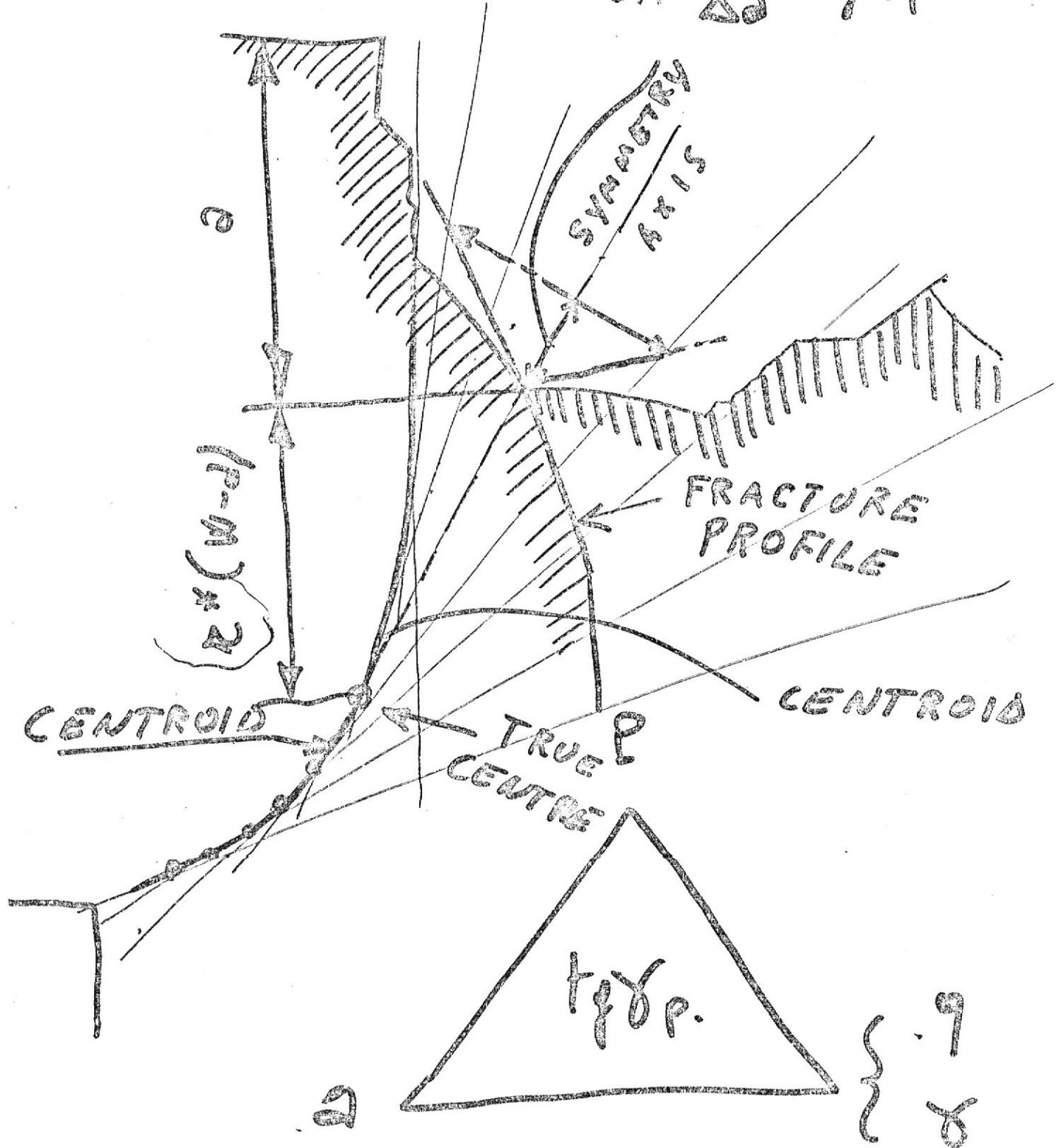
$$R \approx \frac{P}{B} \frac{dS}{da}$$

$$\frac{\partial R}{\partial a} \approx \frac{1}{B} \frac{\partial P}{\partial a} \cdot \frac{dS}{da}$$



$$\frac{d\delta}{da} = \frac{1}{r^*(W-a)} \quad \text{tg } \delta_p$$

$$\text{COA} = \frac{\Delta\delta}{\Delta a} = \text{tg } \delta_p$$



INSTABILITY

$$\frac{L}{W} \geq T_{\text{net}}$$

$$\boxed{\frac{dP_{LS}}{d\theta_{LS}} \geq \frac{dP_L}{d\theta}} = \left(\frac{dP}{d\alpha} \right) \left(\frac{d\alpha}{d\theta} \right)$$

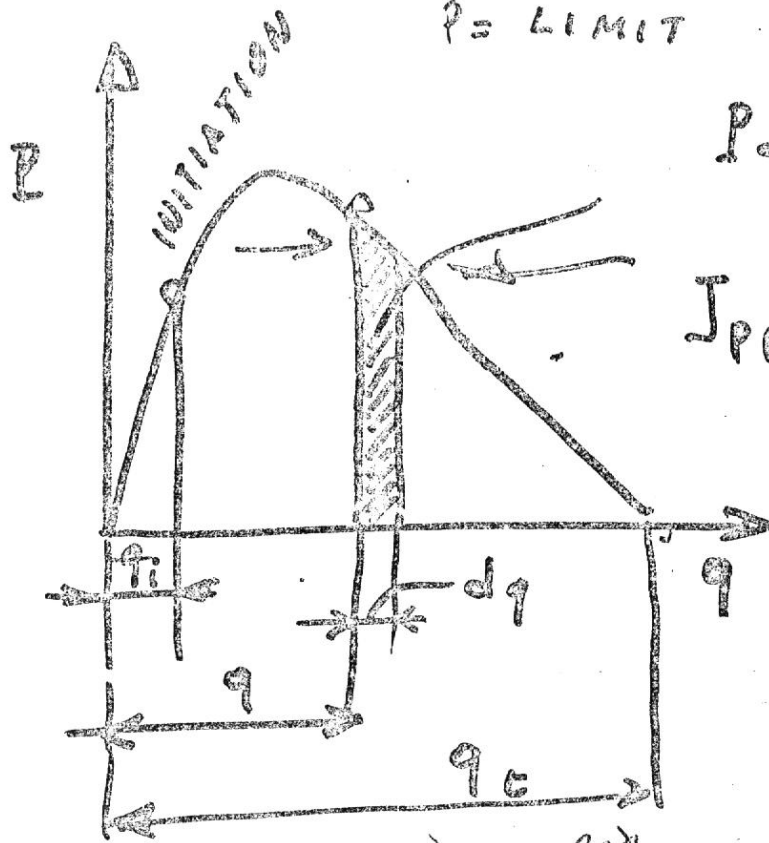
LOADING SYSTEM

SPECIMEN

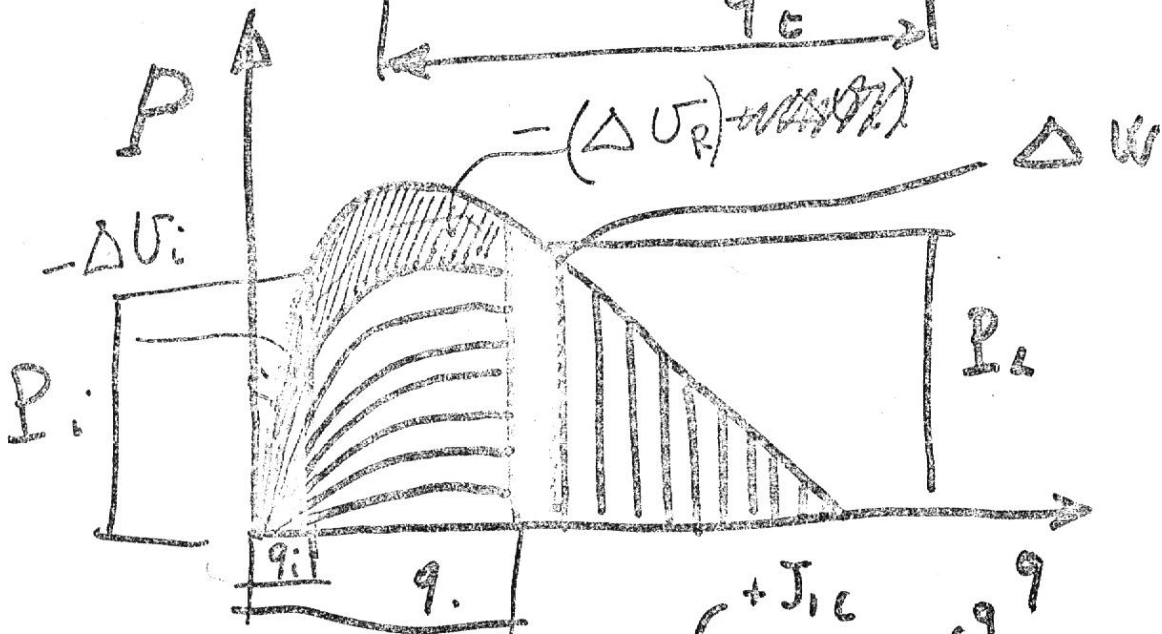
↓

$$-\frac{1}{C_{LS}} \geq \frac{dP}{d\alpha} \cdot \frac{d\alpha}{d\theta}$$

$P = \text{LIMIT LOAD}$



$$J_{PR} = \frac{P}{B} \left(\frac{dq}{dP} \right)$$

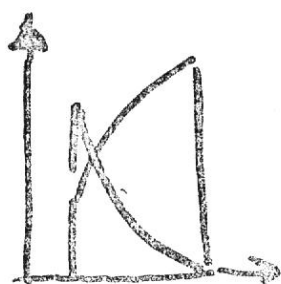
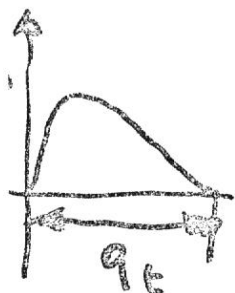
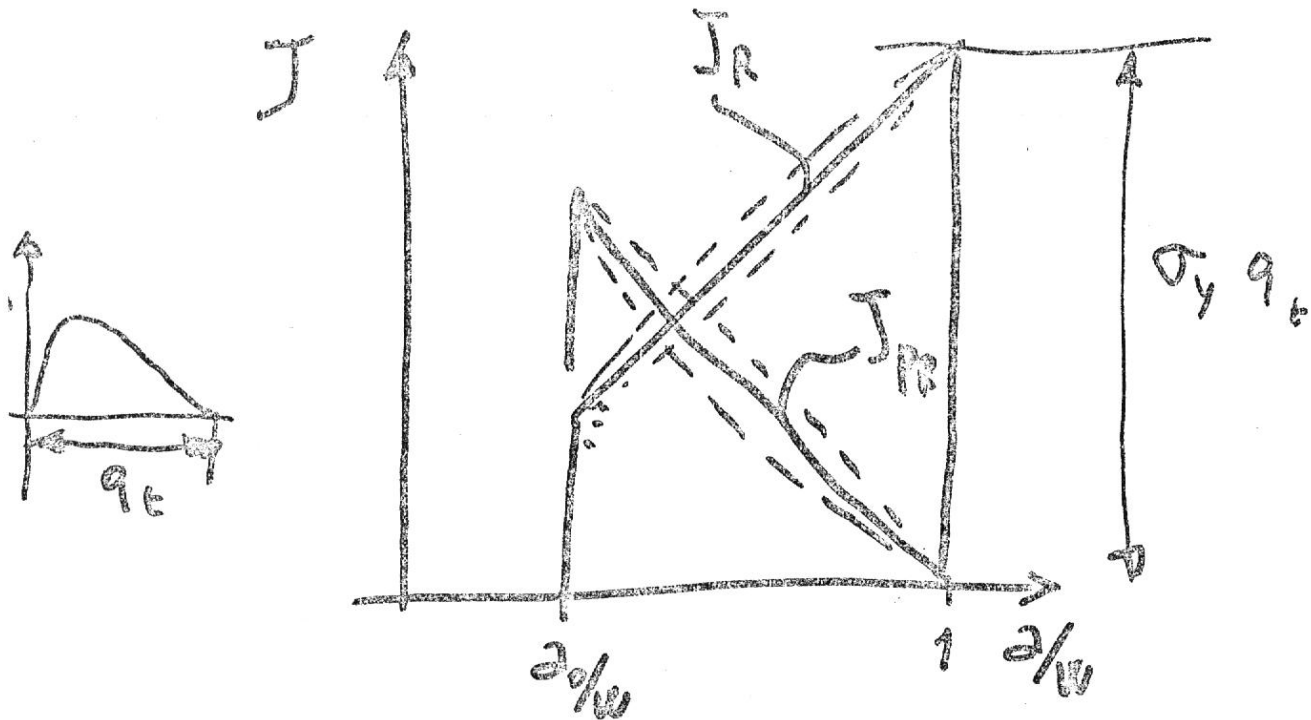


$$J_R = \lim_{\Delta q \rightarrow 0} \frac{-\Delta U_R}{B \Delta q} = -\frac{1}{B} \int_{q_i}^{q_c} \frac{dP}{dq} dq + J_{ic}$$

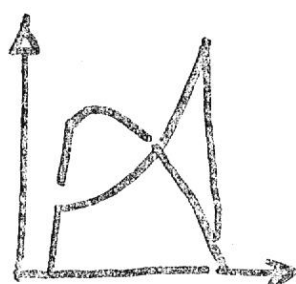
$$J_{PR} = \lim_{\Delta P \rightarrow 0} \frac{\Delta W}{B \Delta P} = \frac{1}{B} \int_0^{P_i} \left(\frac{dq}{dP} \right) dP$$

$$\frac{dJ_R}{dq} = - \frac{dJ_{PR}}{dP}$$

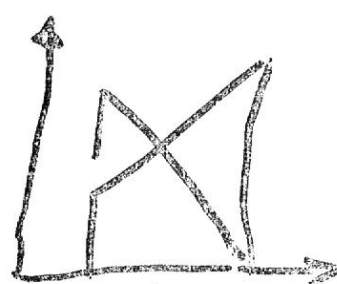
$$J_R + J_{PR} = \text{const} = \left(\frac{P_c}{B} \right) q_c$$



NO STRAIN HARDENING
 $\frac{dq}{da} = f(a)$



STRAIN HARDENING
 CTOA = const



NO STRAIN HARDENING
 $\frac{dq}{da} = \text{const.} = CTOA$

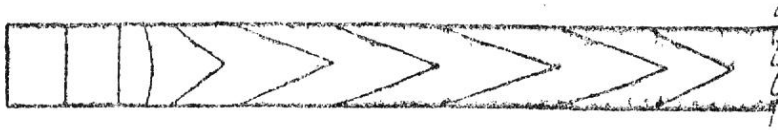
$$J_R = \begin{cases} \sigma_L (a - a_0) \frac{dq}{da} \\ \sigma_L q \\ \frac{(P_i - P)}{B} \frac{dq}{da} \end{cases}$$

$$J_{PR} = \begin{cases} \sigma_L (w - a) \frac{dq}{da} \\ \sigma_L (q_r - q) \\ \frac{P}{B} \frac{dq}{da} \end{cases}$$

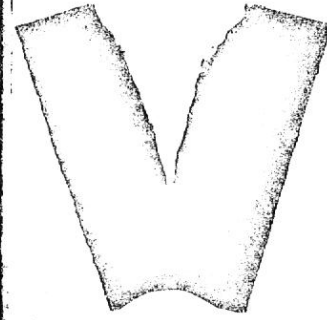
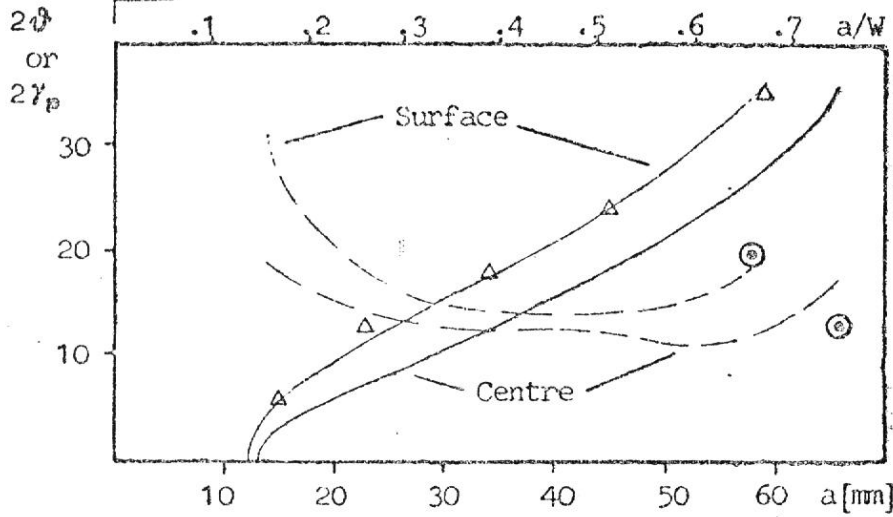
$$J_R + J_{PR} = \sigma_y q_t$$

$$\frac{dJ_R}{da} = - \frac{dJ_{PR}}{da}$$

S2 Specimen; W=88 , B = 15 , longitudinal



Crack Front
Centre Profile
Surface Profile

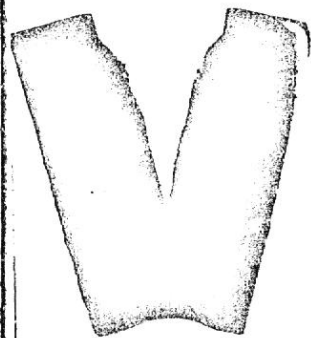
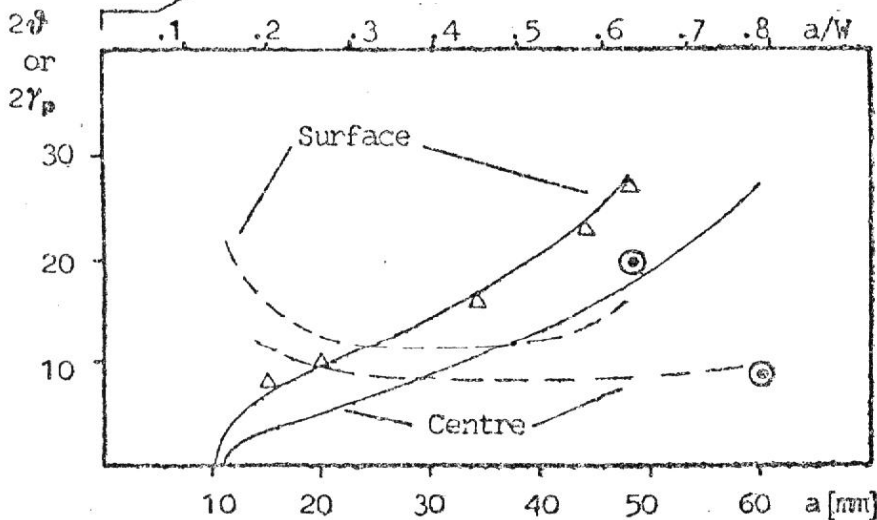


Mid Thickness Section

Z2 Specimen; W=76 , B=15 , transverse



Crack Front
Centre Profile
Surface Profile



Mid Thickness Section

Fig.(2)- Static tests: crack fronts, fracture profiles, theoretical 2θ (—), $2\gamma_p$ (---) curves and experimental 2θ (Δ), $2\gamma_p$ (\odot) values.

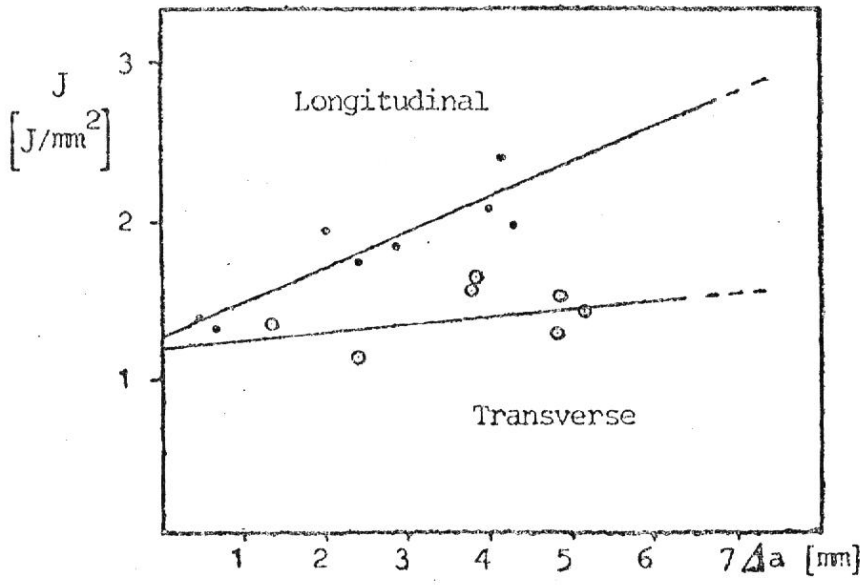
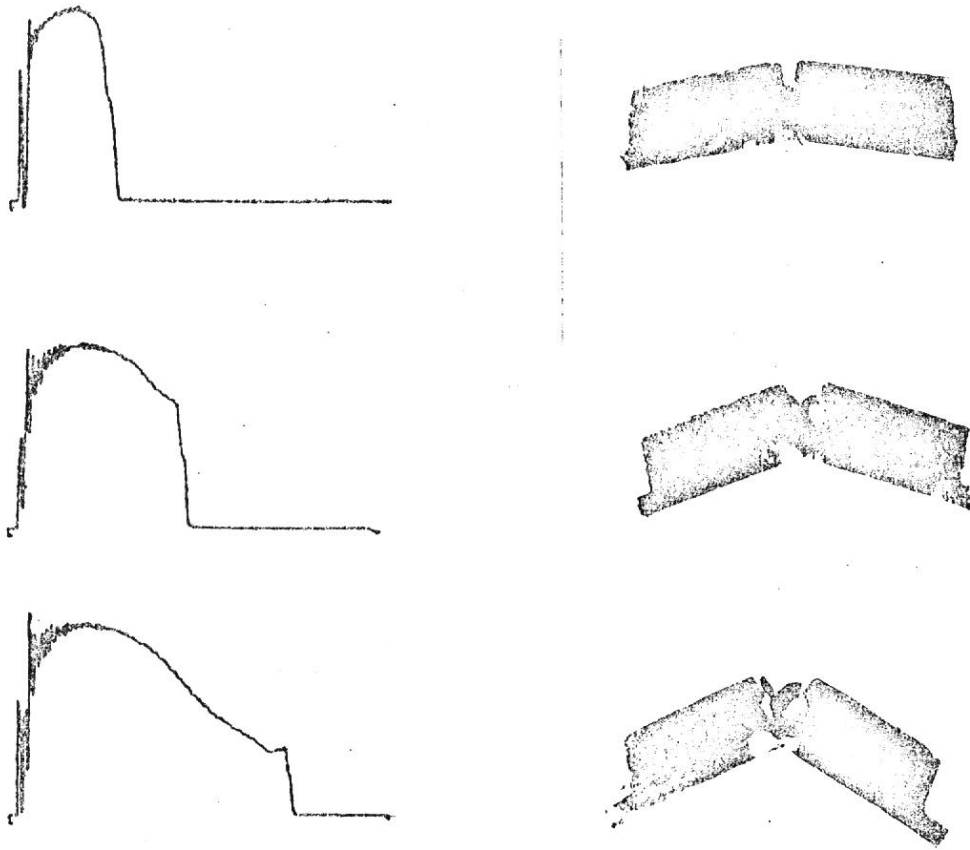
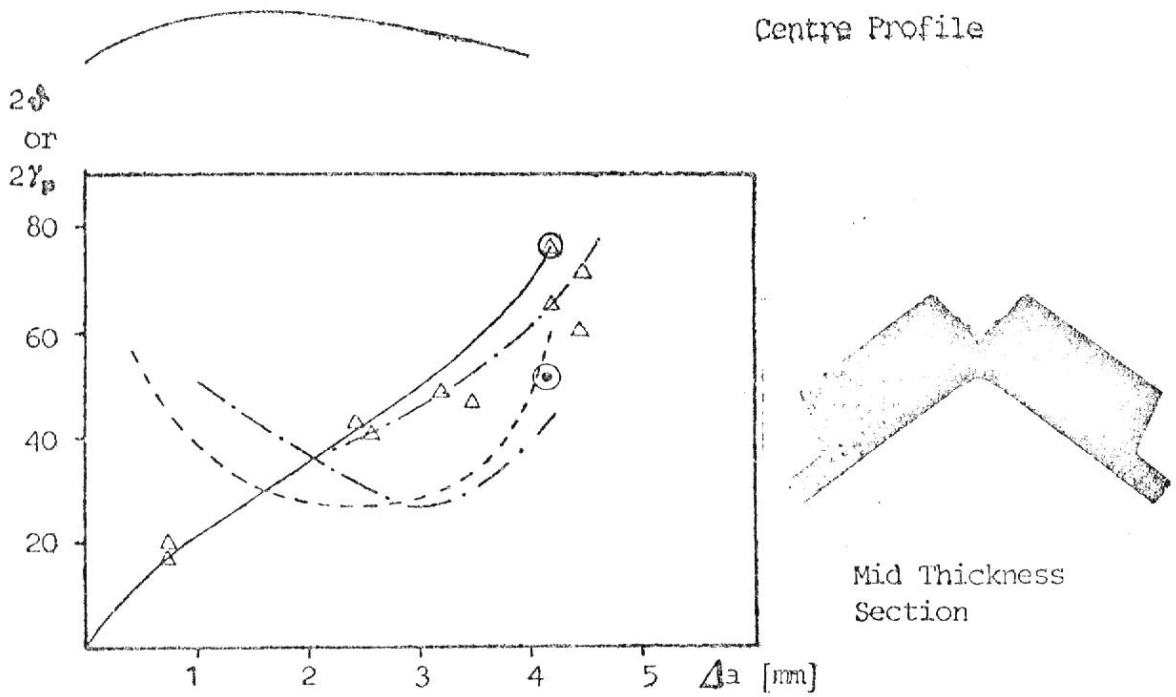


Fig.(4) - J_R curve by multispecimen technique.

Longitudinal Specimens



Transverse Specimens

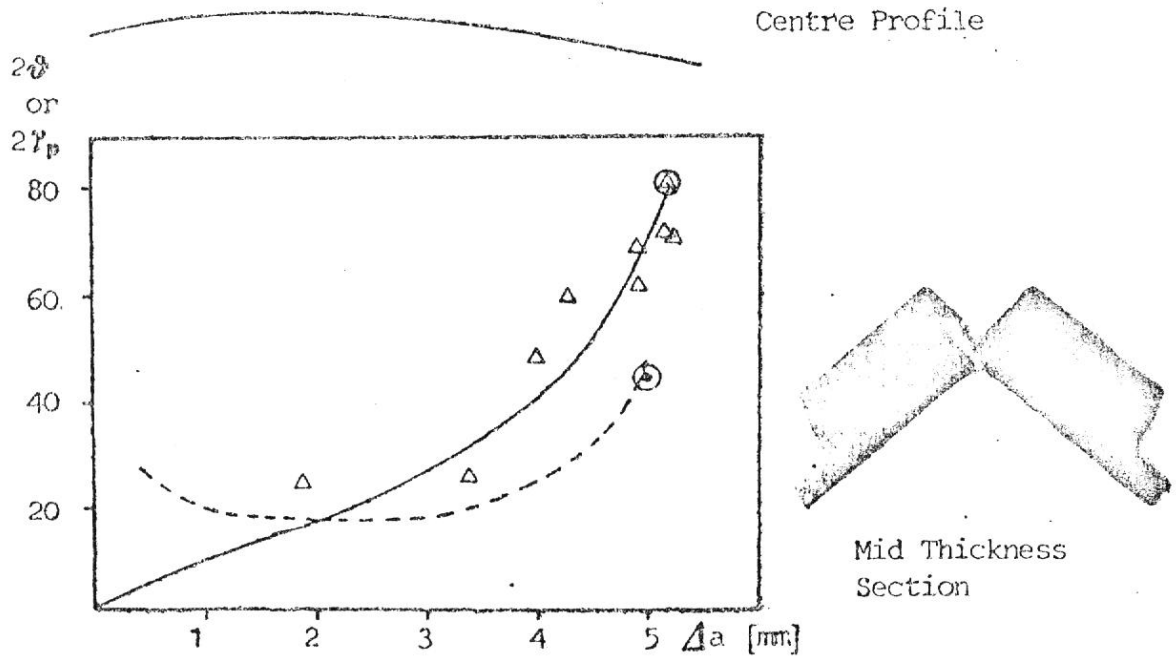


Fig.(3)- Interrupted Charpy dynamic tests: centre fracture profiles, theoretical 2ϕ (—), $2\gamma_p$ (---) curves derived from the profiles, experimental $2\phi(\Delta)$ and $2\gamma_p(\circ)$ values and theoretical 2ϕ and $2\gamma_p$ curves (---) optimized on all 2ϕ values of longitudinal specimens.

ENKJ
[°]

FORMA
C70A

91
41
21
01
0
0
4
2

